

## บทที่ 1

### บทนำ

#### ความเป็นมาและความสำคัญ

มะเร็งท่อน้ำดีมีลักษณะการดำเนินโรคที่ค่อนข้างช้า ทำให้กัวจะสามารถตรวจพบได้ผู้ป่วยโดยส่วนใหญ่ก็อยู่ในระยะสุดท้าย หรือมีการแพร่ลุกลามของมะเร็งไปยังอวัยวะอื่นๆ แล้ว ส่งผลให้การรักษาในปัจจุบันไม่ได้ผลดีเท่าที่ควร ดังนั้นการศึกษาถึงกลไกการก่อโรคมะเร็งชนิดนี้ ในระดับโมเลกุลเพื่อนำไปสู่การพัฒนาแนวทางการป้องกัน การดูแลรักษา และการติดตามการเกิด ขึ้นของมะเร็งท่อน้ำดีจึงเป็นเรื่องที่สำคัญมาก นอกจากนั้นผลการวิจัยทางด้านนี้ยังสามารถพัฒนา วิธีการตรวจวินิจฉัยโรคมะเร็งในระยะแรกเริ่ม โดยคัดเลือกยีนที่เกิดการเปลี่ยนแปลงเป็นอันดับแรก เมื่อเซลล์ถูกกระตุ้นหรือซักนำให้เป็นมะเร็ง นำมาใช้ในการออกแบบตัวตรวจจับเพื่อตรวจหาเชิงที่ ผ่าเหล่านี้ในเซลล์ของผู้ป่วย ประโยชน์อีกด้านหนึ่นคือคัดเลือกยีนที่เกิดการเปลี่ยนแปลงในเซลล์ขั้น ร้ายแรง (metastasis) และใช้เป็นตัวตรวจจับเพื่อตรวจหาเซลล์มะเร็งปัจุณภูมิที่หลงเหลือจากการ ผ่าตัดหรือการรักษาโดยวิธีอื่นๆ นอกจากนี้ยังนำความรู้ที่ได้จากการศึกษาไปพัฒนาวิธีการรักษา โรคมะเร็งแบบใหม่ๆ ในอนาคต เช่น การใช้ antisense DNA หรือ RNA เพื่อยับยั้งการสร้าง oncoprotein ในเซลล์มะเร็ง หรือการรักษาโรคมะเร็งโดยวิธี gene therapy เป็นต้น

ยืนที่สำคัญและเกี่ยวข้องกับการเกิดเซลล์มะเร็งมี 2 กลุ่ม คือ Oncogenes และ Tumor suppressor genes ซึ่งจะพบการผ่าเหล่านี้ในเซลล์มะเร็งแทบทุกชนิด (รวมทั้งเซลล์มะเร็งท่อน้ำดี ด้วย) ความถี่ของการเกิดการผ่าเหล่านี้ของยีนเหล่านี้หลากหลายขึ้นอยู่กับชนิดของเซลล์มะเร็ง สาเหตุของการเกิดมะเร็ง และกลุ่มประชากรที่เป็นมะเร็ง ข้อมูลการศึกษาการเปลี่ยนแปลงของยีน ทั้งสองกลุ่มนี้ในกลุ่มประชากรไทยที่เป็นมะเร็งยังมีรายงานน้อยมาก โดยเฉพาะโรคมะเร็งท่อน้ำดี ซึ่งเกิดในคนไทยในภาคตะวันออกเฉียงเหนือมากที่สุดในโลก โดยมีความสัมพันธ์กับการเกิดโรค พยาธิใบไม้ตับ (*Opisthorchis viverrini*) ซึ่งเป็นสาเหตุเฉพาะไม่เหมือนกับผู้ป่วยมะเร็งท่อน้ำดีใน แถบยุโรปและอเมริกา

จากผลงานวิจัยที่ผ่านมา (Chuensumran, Wongkham, Pairojkul, Chauin, & Petmitr, 2007, pp. 2986-2991) ทำให้ทราบสภาพการเปลี่ยนแปลงของยีนต่างๆ ในเซลล์มะเร็งท่อน้ำดี

ของผู้ป่วยไทย โดยเบื้องต้นใช้วิธีขยายยีนแบบสุ่ม (AP-PCR) พบส่วนของดีเอ็นเอที่มีความจำเพาะกับโรคมะเร็งท่อน้ำดีอยู่บนยีน *brp14* บนโครโมโซม 18 และเมื่อวิเคราะห์การเพิ่มจำนวนชุดของดีเอ็นเอด้วยเทคนิค real-time PCR ของยีนดังกล่าว พบร่วมจำนวนชุดของยีนมีการเปลี่ยนแปลง (gene variation) 52% (27/52 ราย) ดังแสดงในตารางที่ 1 ทางผู้วิจัยจึงทำการวิจัยต่ออยอด เพื่อศึกษาการยับยั้งการทำงานของยีนดังกล่าวด้วยเทคนิค RNAi และแนวโน้มในการนำไปใช้รักษาโรคมะเร็งท่อน้ำดีในคนไทยต่อไป

ตารางที่ 1.1 จำนวนเท่าในการเพิ่มปริมาณดีเอ็นเอบนโครโนซัม 18p11 วิเคราะห์โดยเทคนิค real-time PCR

รายที่	จำนวน (เท่า)	หมายเหตุ	รายที่	จำนวน (เท่า)	หมายเหตุ
1	1.292	-	28	1.102	-
2	1.395	-	29	1.329	-
3	1.021	-	30	0.438	(Loss)
4	1.149	-	31	0.490	(Loss)
5	2.445	(Amp)	32	2.751	(Amp)
6	0.807	-	33	1.705	(Amp)
7	0.551	-	34	13.361	(Amp)
8	1.516	(Amp)	35	2.144	(Amp)
9	1.035	-	36	1.879	(Amp)
10	1.079	-	37	3.732	(Amp)
11	1.505	(Amp)	38	6.190	(Amp)
12	0.717	-	39	2.114	(Amp)
13	2.129	(Amp)	40	1.625	(Amp)
14	1.395	-	41	7.160	(Amp)
15	1.474	(Amp)	42	3.272	(Amp)
16	0.758	-	43	0.747	-
17	0.566	-	44	1.558	(Amp)
18	1.181	-	45	3.630	(Amp)
19	0.933	-	46	17.388	(Amp)
20	0.883	-	47	2.362	(Amp)
21	1.474	(Amp)	48	1.197	-
22	0.835	-	49	6.498	(Amp)
23	1.094	-	50	1.223	-
24	0.908	-	51	4.377	(Amp)
25	1.072	-	52	5.657	(Amp)
26	1.189	-	Amp	25/52	(48%)
27	2.028	(Amp)	Loss	2/52	(4%)

Amp คือ การเพิ่มปริมาณดีเอ็นเอ  $\geq 1.5$  เท่า; Loss คือ การลดปริมาณดีเอ็นเอ  $\leq 0.5$  เท่า

## วัตถุประสงค์ของการวิจัย

เพื่อศึกษาการยับยั้งการแสดงออกของยีน *usp14* ด้วยเทคนิค RNAi ในเซลล์มะเร็งท่อ  
น้ำดี

## ทฤษฎี สมมุติฐาน และกรอบแนวความคิดของการวิจัย

จากตารางที่ 1.1 พบร่วมกันว่า มีการเพิ่มจำนวนชุดของดีเอ็นเคนยีน *usp14* ในเซลล์มะเร็งท่อ  
น้ำดี จำนวน 48% ซึ่งนับว่าสูงมาก จึงนำที่จะนำเดบดีเอ็นเอดังกล่าวมาศึกษาว่าเกี่ยวข้องกับ  
oncogene หรือไม่

นอกจากนี้ยังนำความรู้ที่ได้จากการศึกษาไปพัฒนาวิธีการรักษาโรคมะเร็งแบบใหม่ๆ ใน  
อนาคต เช่น การใช้ antisense DNA หรือ RNA (เรียกว่า RNA interference, RNAi) เพื่อยับยั้ง  
การสร้าง oncprotein ในเซลล์มะเร็งท่อน้ำดี และเป็นข้อมูลพื้นฐานสำหรับการรักษาโรคมะเร็ง  
ชนิดอื่นๆ ต่อไป

## ขอบเขตของการวิจัย

ออกแบบ RNAi จำนวน 3 ชุด และนำไปทำการศึกษาในเซลล์ไลน์ของมะเร็งท่อน้ำดีในคน  
ไทย เพื่อศึกษาการยับยั้งของยีน *usp14* ในเซลล์ไลน์ดังกล่าว และทำการเลือก RNAi ที่ให้ผลการ  
ยับยั้งเซลล์มะเร็งดีที่สุด เพื่อนำมาศึกษาสภาวะของเซลล์ ได้แก่ Proliferation, Migration และ  
Invasion

## ประโยชน์ที่คาดว่าจะได้รับ

1. พัฒนาการรักษาโรคมะเร็งท่อน้ำดี และอาจนำไปใช้กับโรคมะเร็งอื่นๆ
2. นำไปเผยแพร่ในวารสารนานาชาติ

ผลงานที่คาดว่าจะได้พิมพ์: Inhibition of USP14 by Small Interfering RNA as a

Therapeutic Trend for Thai Patient with Cholangiocarcinoma

หน่วยงานที่นำผลการวิจัยไปใช้ประโยชน์

โรงพยาบาลต่างๆ ที่มีการตรวจวินิจฉัยโรคระรังท่อน้ำดี และหน่วยงานที่ทำงานวิจัยทางด้านอณูชีววิทยาของโรคระรัง

## บทที่ 2

### แนวคิด ทฤษฎี เอกสารและงานวิจัยที่เกี่ยวข้อง

มะเร็งท่อน้ำดี (cholangiocarcinoma, CCA) เป็นมะเร็งที่ถือว่าร้ายแรงที่สุดชนิดหนึ่ง มีการพยากรณ์โรคไม่ดี เพราะอัตราการเกิดโรคและอัตราการตายมีจำนวนพอๆ กัน ประเทศไทย จัดเป็นประเทศที่มีอุบัติการณ์ของโรคมะเร็งนิคนิดนี้สูง โดยเฉพาะในภาคตะวันออกเฉียงเหนือ จากการทำทะเบียนชุมชนของจังหวัดขอนแก่น (Vatanasapt, Martin, Sriplung, Chindavijak, Sontipong, Suwanrungruang, Kamsa-ard, et al., 1995, pp. 475-483) พบร้อยละ 94.8 ต่อประชากรชาย 100,000 คนต่อปี และในเพศหญิงเท่ากับ 39.4 ต่อประชากรหญิง 100,000 คนต่อปี และพบว่าร้อยละ 89 ของมะเร็งตับเป็นมะเร็งท่อน้ำดี มีรายงานอุบัติการณ์ใน จ.ขอนแก่น ระหว่างปี 2533-2543 ในกลุ่มที่มีอายุมากกว่า 35 ปี อัตรา 93.8-317.6 ต่อประชากร 100,000 คนต่อปี (Sriamporn, Pisani, Pipitgool, et al., 2004, pp. 588-594) การรักษาส่วนใหญ่ยังต้องพึงการผ่าตัด แต่ผลการรักษาไม่เป็นที่น่าพอใจ มีอัตราการรอดชีวิต (5 year survival) เพียงร้อยละ 8 (Uttaravichien & Buddhisawasdi, 1990, pp. 608-611)

ในประเทศไทยเป็นที่เน้นชัดแล้วว่าการเกิดโรคมะเร็งท่อน้ำดี (CCA) มีความสัมพันธ์กับการเกิดโรคพยาธิใบไม้ตับชนิด *Opisthorchis viverrini* (OV) (Thamavit, Bhamarapravati, Sahaphong, Vajrasthira, & Angsubhakorn, 1978, pp. 4634-4639; International Agency for Research on Cancer, 1994, pp. 121-175; Vatanasapt, Sripa, Sithithaworn, & Mairiang, 1999, pp. 313-343; Sripa & Kaewkes, 2000, pp. 139-145) โดยสามารถตรวจพบแอนติเจนได้ในเซลล์เยื่อบุท่อน้ำดีและบริเวณรอบท่อน้ำดี นอกจากนี้ยังพบแอนติเจนใน macrophage, epithelioid cell และ giant cell แม้จะไม่พบตัวพยาธิก็ตาม กระบวนการเกิด CCA ประกอบไปด้วยการเปลี่ยนแปลงหลายขั้นตอน เริ่มตั้งแต่พบภาวะ early hyperplastic (อาจพบ metaplastic ได้ในบางครั้ง) และตามด้วย dysplasia จนกระทั่งเป็นมะเร็ง ซึ่งคาดว่าเป็นผลจากการติดพยาธิใบไม้ตับ การอักเสบเรื้อรัง และการบาดเจ็บของเซลล์เยื่อบุท่อน้ำดี โดยอาจเกิดร่วมกับการมีการอุดตันของท่อน้ำดี การเกิดภาวะ primary sclerosing cholangitis (PSC), hepatolithiasis, Caroli's disease และ congenital choledochal cysts เป็นต้น

ในรอบ 10 ปีที่ผ่านมา พบรากเปลี่ยนแปลงในระดับโมเลกุลที่เกี่ยวข้องกับมะเร็งท่อน้ำดี นำมาสู่เพื่อขอรับอนุญาตที่เกี่ยวข้องในกระบวนการเกิดพยาธิสภาพของโรคได้ดังนี้คือ

### ความผิดปกติของยีน K-ras และ p53

จากรายงานการวิจัยหลายฉบับพบว่ามีการกลายพันธุ์ (mutation) ของยีน K-ras และ p53 และมีการแสดงออกของยีนทั้งสองชนิดนี้เพิ่มสูงขึ้น ซึ่งมีความสัมพันธ์กับกระบวนการกำกับมะเร็งท่อน้ำดี โดย Ohashi และคณะ (Ohashi, Nakajima, Kanehiro, Tsutsumi, Taki, et al., 1995, pp. 1612-1617) พบรากลายพันธุ์ของยีนนี้ได้ตั้งแต่ระดับต้นของการกำกับมะเร็ง ในขณะที่ p53 จะพบในระยะท้ายของการควบคุมการกำกับมะเร็ง ในภาวะปกติ K-ras จะอยู่ในรูปของ proto-oncogene ซึ่งไม่ทำงาน (inactive form) แต่หากในกรณีที่มีการกลายพันธุ์เกิดขึ้นจะทำให้ K-ras อยู่ในรูปที่ทำงาน (active form) หรือเรียกว่า oncogene จากรายงานการวิจัยพบว่าการกลายพันธุ์ของยีน K-ras มีอุบัติการณ์สูงถึง 100% ในผู้ป่วยมะเร็งท่อน้ำดีชาวจังกฤษ (Levi, Urbano-Ispizua, Gill, Thomas, Gilbertson, et al., 1991, pp. 3497-3502) ในขณะที่พบการกลายพันธุ์อยู่ในช่วง 4-60% ในผู้ป่วยชาวญี่ปุ่นและคนไทย (Furubo, Harada, Shimonishi, Katayanagi, Tsui, et al., 1999, pp. 230-240; Tada, Omata, & Ohto, 1992, pp. 1115-1118; Petmitr, Pinlaor, Thousungnoen, Karalak, & Migasena, 1998, pp. 71-75) ตำแหน่งที่มีการกลายพันธุ์ ส่วนใหญ่ (hot spot) พบที่ codon 12 โดยเปลี่ยนกรดอะมิโนชนิด glycine (GGT) ไปเป็น aspartic acid (GAT) หรือ valine (TGT) นอกจากนี้ยังพบการกลายพันธุ์ที่ codon 13 และ codon 61 อีกด้วย (Petmitr, Pinlaor, Thousungnoen, Karalak, & Migasena, 1998, pp. 71-75; Ohashi, Tsutsumi, Nakajima, Noguchi, Okita, et al., 1994, pp. 305-310; Tsuda, Satarug, Bhudhisawasdi, Kihana, Sugimura, et al., 1992, pp. 266-269)

ในกรณีของยีน p53 ซึ่งจดอยู่ในกลุ่ม tumor suppressor gene ทำหน้าที่ยับยั้งการแบ่งตัวของเซลล์ที่ผิดปกติหรือทำหน้าที่ซักนำให้มีการกำจัดเซลล์ที่ผิดปกติโดยกระบวนการ apoptosis ดังนั้น หากมีความผิดปกติเกิดขึ้นกับการทำงานของยีน p53 จะส่งผลให้เซลล์เกิดเป็นมะเร็งได้ พบรากลายพันธุ์ของยีน p53 ในผู้ป่วยมะเร็งท่อน้ำดี 5-53% โดยเฉพาะชนิด mass-forming (Ohashi, Nakajima, Kanehiro, Tsutsumi, Taki, et al., 1995, pp. 1612-1617; Furubo, Harada, Shimonishi, Katayanagi, Tsui, et al., 1999, pp. 230-240) ซึ่งส่วนใหญ่เป็นการกลายพันธุ์ชนิด missense (มีการสร้างกรดอะมิโนที่เปลี่ยนไปจากเดิม) ส่วนน้อยจะเป็นการกลายพันธุ์แบบ nonsense (ไม่สร้างกรดอะมิโน)

## ความผิดปกติของยีนที่มีความเกี่ยวข้องกับกระบวนการ apoptosis

ในเซลล์ปกติจะมีการทำงานของยีนและโปรตีนที่มีบทบาทในการกระตุ้นและยับยั้งกระบวนการตายของเซลล์แบบ apoptosis กล่าวคือ ถ้าเซลล์ได้รับบาดเจ็บระดับหนึ่ง เซลล์จะสามารถเห็นว่าให้ตายลง (apoptosis) เมื่อไม่ให้ความผิดปกตินั้นถ่ายทอดยังเซลล์รุ่นหลัง แต่ในกรณีที่เซลล์มีความผิดปกติจนเปลี่ยนแปลงไปเป็นเซลล์มะเร็ง จะมีความผิดปกติของการทำงานกล่าวคือ จะมีการแสดงออกที่ลดลงของยีนที่ทำหน้าที่กระตุ้นให้เกิด apoptosis แต่มีการแสดงออกที่เพิ่มมากขึ้นของยีนกลุ่มที่ยับยั้งการเกิด apoptosis ทำให้เซลล์ที่เกิดความผิดปกติหรือเซลล์มะเร็งสามารถเจริญแบ่งตัวต่อไปได้อย่างไม่มีสิ้นสุด การศึกษาในมะเร็งท่อน้ำดี พบร่วมกับยีนที่มีบทบาทในการยับยั้งกระบวนการ apoptosis หลายชนิดมีการแสดงออกที่เพิ่มสูงขึ้น เช่น ยีน *Bcl-2*, *Bcl-X* และ *Mcl-1*

## ความผิดปกติของกลุ่มยีนที่ทำหน้าที่ซ่อมแซม DNA (DNA repairing gene)

ในภาวะปกติเมื่อมีการทำลายดีเอ็นเอเกิดขึ้น เซลล์จะมีระบบซ่อมแซมด้วยกลุ่มยีนไซเมที่เรียกว่า DNA repairing enzymes ซึ่งเป็นผลของ DNA repairing genes แต่หากเซลล์มีการแสดงออกผิดปกติ หรือการก่อภัยพันธุ์ของยีนในกลุ่มนี้จะทำให้เกิดการสะสมของดีเอ็นเอที่มีความผิดปกติตามที่ระบุไว้ในส่วนของยีนนั้นๆ ทำให้เกิดการซ่อมแซม DNA ไม่ถูกต้อง ไม่สิ้นสุด จึงทำให้เกิดการก่อภัยพันธุ์ของยีนหลายๆ ตำแหน่ง ในที่สุดการก่อภัยพันธุ์สามารถเกิดขึ้นได้กับยีนในทุกกลุ่ม ได้แก่ oncogenes, tumor suppressor genes, apoptosis genes รวมไปถึง DNA repairing genes ด้วย ทำให้เซลล์ที่มีความผิดปกติมีการแบ่งตัวอย่างไม่สิ้นสุด พัฒนาเป็นเซลล์มะเร็งได้ นอกจากความผิดปกติของยีนต่างๆ โดยตรงแล้ว ยังพบความผิดปกติที่กระบวนการควบคุมการแสดงออกของยีนซึ่งเรียกว่า epigenetic stage ได้อีกด้วย เช่น การเกิดปฏิกิริยา hypermethylation ในบริเวณตำแหน่ง promoter ของยีน *hMLH1* ซึ่งเป็นยีนที่ทำหน้าที่ซ่อมแซมในกรณีที่มี DNA mismatch เกิดขึ้น ผลให้การแสดงออกของยีนดังกล่าวลดต่ำลง ทำให้เกิดการก่อภัยพันธุ์ของยีนต่างๆ ได้ง่ายยิ่งขึ้น (Liu, Momoi, Li, Ishikawa, & Fukumoto, 2002, pp. 366-371; Limpaiboon, Krissadarak, Sripa, Jearanaikoon, Bhuhisawasdi, et al., 2002, pp. 215-222)

## การเปลี่ยนแปลงในการแสดงออกของยีนกลุ่ม growth factors และ cytokines ต่างๆ

จากการศึกษาพบว่ามี growth factors และ cytokines หลายชนิดที่มีบทบาทกระตุ้นให้เซลล์เยื่อบุท่อน้ำดีแบ่งตัว เช่น interleukin-6 (IL-6), hepatocyte growth factor (HGF), transforming growth factor- $\alpha$  (TGF- $\alpha$ ), epidermal growth factor (EGF), c-erbB-2, heterogenous immunoglobulin A (IgA) และ leukocyte inhibitory factor (LIF) เป็นต้น (Terada, Ashida, Endo, Horie, Maeta, et al., 1998, pp. 325-331; Harada, Terada, & Nakanuma, 1996, pp. 787-792; Radaeva, Ferreira-Gonzalez, & Sirica, 1999, pp. 1453-1462; Alpini, Glaser, Ueno, Pham, Podila, et al., 1998, pp. G767-775) โดยการกระตุ้นเป็นได้ทั้งแบบ autocrine หรือ paracrine นอกจากนี้ยังพบว่า receptor ของ growth factors และ cytokines เหล่านี้ยังถูกกระตุ้นให้มีการแสดงออกที่เพิ่มสูงขึ้นในเซลล์มะเร็งท่อน้ำดี เช่น Met ซึ่งเป็น receptor ของ HGF หรือ c-erbB-2 ซึ่งเป็นโปรตีนบนผิวเซลล์ที่มีความคล้ายคลึง (homologous) กับ EGFR จะถูกกระตุ้นให้มีการแสดงออกเพิ่มขึ้นในกรณีที่มีพยาธิสภาพของเยื่อบุทางเดินน้ำดี ซึ่งการแสดงออกของ growth factors และ cytokines ชนิดต่างๆ รวมไปถึง receptor เหล่านี้จะมีผลไปกระตุ้นให้เกิดการแบ่งตัวของเซลล์อยู่ตลอดเวลาโดยเฉพาะเซลล์มะเร็ง ซึ่งเป็นเซลล์ที่มีความผิดปกติอยู่แล้ว จนส่งผลให้เซลล์เหล่านี้มีการเจริญเติบโตที่ไม่สิ้นสุด

โดยพบว่าเมื่อมีการอักเสบทำให้ inflammatory cytokines (eg.TNF- $\alpha$ , IL-6) ไปกระตุ้นให้มีการแสดงออกของยีน inducible nitric oxide synthase (iNOS) มีผลทำให้ 1) มีการสร้าง endogenous nitric oxide (NO) (Sirica, Lai, Endo, Zhang, & Yoon, 2002, pp. 303-313; Pascher , Jonas, & Neuhaus, 2003, pp. 282-287) ซึ่งเป็นสารที่ทำให้เดินเอนไซด์เจ็บ ยับยั้งการซ่อมแซมดีเอ็นเอ (DNA repair) และยับยั้งกระบวนการ apoptosis ทำให้เกิดการคั่งของน้ำดี ในท่อขนาดเล็ก 2) ทำให้ยีน COX-2 (cyclooxygenase-2) แสดงออกมากขึ้น ส่งเสริมให้มีการเจริญของเซลล์ และยับยั้งกระบวนการ apoptosis

จากการวิจัยที่ผ่านมา (งปม.51-52) (Chuensumran, Saelee, Punyarat, Wongkham, Pairojkul, et al., 2011, pp. 775-779) ทำให้ทราบสภาพการเปลี่ยนแปลงของยีนต่างๆ ในเซลล์มะเร็งท่อน้ำดีของผู้ป่วยไทย โดยเบื้องต้นใช้วิธีขยายยีนแบบสุ่ม (AP-PCR) พบร่องของDNA ที่มีความจำเพาะกับโกรุมะเร็งท่อน้ำดีอยู่บนยีน usp14 (Ubiquitin-specific protease 14) บนโครโมโซม 18 โดยพบว่ามีการเพิ่มขึ้น (Amplification) 48% (25/52 ราย)

โปรตีน Ubiquitin-specific protease 14 (USP14) จัดอยู่ในกลุ่ม UBP ซึ่งโปรตีนในกลุ่มนี้ บางตัวมีรายงานว่าเกี่ยวข้องกับมะเร็ง (เนื่องจากควบคุมโปรตีนที่เกี่ยวข้องกับการเจริญและการตายของเซลล์) พบว่าผู้ป่วยมะเร็งลำไส้ใหญ่ จำนวน 18% มีโปรตีน USP14 ที่ใช้เฉพาะกลุ่มของเซลล์มะเร็งจำนวนมาก ซึ่งสัมพันธ์กับพยาธิสภาพ และการแพร่กระจายของเซลล์มะเร็งมากยังต่อมน้ำเหลืองและตับ และมีอัตราการรอดชีวิต (survival rate) ต่ำกว่าผู้ป่วยที่มีการแสดงออกของยีนดังกล่าวในปริมาณต่ำกว่า (Shinji, Naito, Ishiwata, Ishiwata, Tanaka, et al., 2006, pp. 539-543) นอกจากนี้ ยังพบว่ามีการแสดงออกของยีน usp14 มากผิดปกติในเซลล์มะเร็งเม็ดเลือดขาว (Ishiwata, Katayama, Shindo, Ozawa, Itoh, et al., 2001, pp. 13-17) เช่นเดียวกัน

เทคนิค RNA interference (RNAi) คือกระบวนการที่นำลำดับนิวคลีโอไฮด์สายสั้น (dsRNA) ที่มีความจำเพาะ ไปใช้ยับยั้งการแสดงออกของยีน ซึ่งเป็นกระบวนการที่สำคัญหลังจากการถอดรหัส (posttranscriptional gene silencing) ซึ่งมีผลต่อโปรตีนและօาร์เอ็นเอในเซลล์ นักวิทยาศาสตร์พบกระบวนการดังกล่าวครั้งแรกในปี 1990 (Napoli, Lemieux, & Jorgensen, 1990, pp. 279-289) และมีการศึกษาอย่างเป็นระบบเป็นครั้งแรกในปี 1998 ในหนอนนิ่มมาใหมาที่โปรดังใจ มีความยาวประมาณ 1 มิลลิเมตร (*Caenorhabditis elegans*) (Fire, Xu, Montgomery, Kostas, Driver, et al., 1998, pp. 806-811) ซึ่งทำให้ Andrew Fire และ Craig Mello ได้รับรางวัลโนเบลสาขา Medicine or Physiology ในปี 2006 (Mello, 2007, pp. 6985-6994; Fire, 2007, pp. 6966-6984) ได้มีการนำเทคนิค RNAi ไปใช้ในการวิเคราะห์โรคมะเร็งโดยนำไปยับยั้งยีนที่จำเพาะ โดยเฉพาะ oncogenes ดังนี้

1. ยีนที่เกี่ยวข้องกับการสร้างเส้นเลือดเพื่อนำสารอาหารและออกซิเจนไปเลี้ยงเซลล์มะเร็ง (angiogenesis)
2. ยีนที่เกี่ยวข้องกับการแพร่กระจายของเซลล์มะเร็ง (metastasis) หลังจากที่ผู้ป่วยผ่าตัดก้อนเนื้องอก (primary tumors) ออกแล้ว (Wu, Hait, & Yang, 2003, pp. 1515-1519)
3. ยีน mdr (multidrug resistance gene) ซึ่งเป็นสาเหตุของการไม่ตอบสนองต่อยาเคมีบำบัดและรังสีรักษา (Zukiel, Nowak, Wyszko, Rolle, Gawronska, et al., 2006, pp. 1002-1007)

มีการนำ RNAi ไปใช้ครั้งแรกในคลินิกเพื่อรักษาผู้ป่วยมะเร็งที่สมอง (Glioblastoma multiforme) โดยนำไปยับยั้งยีน Tenascin-C (Zukiel, Nowak, Wyszko, Rolle, Gawronska, et

*al., 2006, pp. 1002-1007) ซึ่งประสบความสำเร็จ โดยสามารถป้องกันการแพร่กระจายของเชลล์มนามะเร็งหลังจากผู้ป่วยได้รับการผ่าตัดเอกก้อนเนื้ืออกแล้ว ขณะนี้อยู่ในช่วงพัฒนาโดย Senetek PLC นอกจากระบบมียี่ห้ออื่นๆ ที่บริษัทฯกำลังพัฒนา ได้แก่ M2 subunit ของเอนไซม์ ribonucleotide reductase และโปรตีนไคเนส N3 (Sripa, Leungwattanawanit, Nitta, Wongkham, Bhudhisawasdi, et al., 2005, pp. 3392-3397)*

*การศึกษาการยับยั้งการทำงานของยีน usp14 ด้วยเทคนิค RNAi จึงมีความเป็นไปได้ในกระบวนการนำไปใช้รักษาโรคมะเร็งท่อน้ำดีในคนไทยต่อไป*

## บทที่ 3

### วิธีดำเนินการวิจัย

#### รูปแบบการวิจัย

เป็นงานวิจัยเชิงทดลอง เพื่อศึกษาการขับถ่ายของการทำงานของยีน *nsrp14* ในเซลล์ไลน์ของมะเร็งท่อน้ำดีในคนไทย ด้วยเทคนิค RNA interference (RNAi)

#### วัตถุดิบ

เซลล์ไลน์ของมะเร็งท่อน้ำดีในคนไทยที่นำมาทำการวิจัยได้รับการอนุเคราะห์จากโรงพยาบาลศรีนครินทร์ จ.ขอนแก่น

#### อุปกรณ์และเครื่องมือที่ใช้ในการดำเนินงานวิจัย

อุปกรณ์และเครื่องมือที่ใช้ในการดำเนินงานวิจัย ได้แก่

1. Tissue Culture Hood ชนิด Laminar-flow โดยกรองอากาศผ่าน High Efficiency Particulate Air (HEPA) filter
2. CO<sub>2</sub> Incubator
3. Aspiration Pump
4. ภาชนะเพาะเลี้ยงที่เป็น Disposable Plastics (T-25, T-75)
5. Multi-well Plates หลายขนาด เช่น 12-well, 96-well
6. 24-well biocoat matrigel invasion chamber
7. 8 μm pore filters (Transwell)
8. ตัวกรอง media (0.22 μm membrane)
9. หลอดไมโครพิวร์
10. เจลเซมเบอร์
11. เครื่อง DNA Thermal Cycler

12. Vortex mixer
13. เครื่องไมโครพิว๊บ
14. Tip ขนาด 1 ไมโครลิตร, 20 ไมโครลิตร และ 100 ไมโครลิตร
15. capillary สำหรับเครื่อง LightCycler (Roche)
16. ไมโครปีเพตขนาด 1-20 ไมโครลิตร, 1-100 ไมโครลิตร, และ 1-1000 ไมโครลิตร
17. เครื่องกำเนิดแสงอัลตราไวโอลูเตต (UV transilluminator)
18. เครื่องไมโครเวฟ
19. เครื่องถ่ายรูป

### สารเคมีที่ใช้

1. Media & Supplements ได้แก่ Ham's F12
2. fetal bovine serum
3. HEPES
4. ยาปฏิชีวนะ (Penicillin-Streptomycin)
5. OPTI MEM I (Gibco)
6. Lipofectamine 2000 reagent
7. MTT
8. Block-it transfection kit (Gibco)
9. Trypsin-EDTA 0.25%
10. Trypan blue stain
11. Trizol reagent (Invitrogen)
12. synthetic oligonucleotide (Invitrogen)
13. SuperScript VILO cDNA synthesis kit (Invitrogen)
14. Taq DNA polymerase
15. ชุดน้ำยา SYBR สำหรับ real-time PCR
16. อะก้าโรส

## การดำเนินงานวิจัย

### 1. การออกแบบ RNAi

ออกแบบ RNAi จำนวน 3 ชุด (ลำดับนิวคลีโอไทด์แตกต่างกัน) บนยีน *usp14* โดยเลือกชนิด Modified RNA duplexes (Stealth) จากฐานข้อมูล [www.invitrogen.com/rnai](http://www.invitrogen.com/rnai)

### 2. เซลล์ไลน์

เซลล์ไลน์ของเซลล์มะเร็งท่อน้ำดีในคนไทย ได้รับจากศูนย์วิจัยพยาธิไปเม็ดับและมะเร็งท่อน้ำดี มหาวิทยาลัยขอนแก่น (Sripa, Leungwattanawanit, Nitta, Wongkham, Bhudhisawasdi, et al., 2005, pp. 3392-3397) โดยมีเซลล์ไลน์ 2 ชนิด แยกตามลักษณะของเซลล์ 1) KKU100 เป็นชนิด poorly differentiated และ 2) M213 เป็นชนิด well differentiated เซลล์ไลน์ทั้งสองชนิดถูกเลี้ยงในอาหารเลี้ยงเซลล์ Ham F-12, 10% Fetal bovine serum, และ 1% penicillin-streptomycin ที่อุณหภูมิ 37 องศาเซลเซียส และ ควรบอนไดออกไซด์ 5%  
เซลล์ไลน์ M213 ใช้ในการศึกษาเรื่องการลุกลามของเซลล์มะเร็ง (invasive)

### 3. การนำโอลิกो RNAi เข้าเซลล์ไลน์

นำโอลิกอ RNAi ทั้ง 3 ชุด เข้าเซลล์มะเร็งท่อน้ำดี (transfection) โดยใช้ฟลูโอเรสเซนท์ BLOCK-iT (Invitrogen) ในการติดตามประสิทธิภาพของการนำโอลิกอ RNAi เข้าสู่เซลล์ โดยทำควบคู่ไปกับ negative control

#### การนำ Stealth RNAi เข้าสู่เซลล์ (Transfection) ใน 12-well plate

- ก่อนที่จะทำการ Transfection 1 วัน ให้ลงเซลล์ในอาหารเลี้ยงเซลล์ 1 มิลลิลิตร โดยไม่ใส่ยาปฏิชีวนะ จะทำให้ได้จำนวนเซลล์ 30-50% confluent ก่อนทำการ Transfection
- เตรียม Oligomer-Lipofectamine ดังต่อไปนี้
  - นำ Stealth RNAi จำนวน 40 พิโคโมล ใส่ลงในอาหารเลี้ยงเซลล์ Opti-MEM I Reduced Serum จำนวน 100 ไมโครลิตร (ทำให้ได้ความเข้มข้นของอาร์เอ็นเอเท่ากับ 40 นาโนโมลาร์) ผสมเบาๆ
  - นำ Lipofectamine ให้เป็นเนื้อดียกันเบาๆ ก่อนใช้งาน หลังจากนั้นดูดมา 2 ไมโครลิตร ใส่ลงในอาหารเลี้ยงเซลล์ Opti-MEM I Reduced Serum จำนวน 100 ไมโครลิตร

Serum จำนวน 100 ไมโครลิตร ผสมเบาๆ ทิ้งไว้ 5 นาที ที่อุณหภูมิห้อง (ห้ามเกิน 25 นาที)

- ผสม Stealth RNAi ในขั้นตอนที่ 1 และ Lipofectamine ในขั้นตอนที่ 2 ให้เข้ากันเบาๆ ทิ้งไว้ที่อุณหภูมิห้อง 20 นาที (จะได้สารละลายลักษณะขาวๆ)

3. เติม Oligomer-Lipofectamine จำนวน 4 ไมโครลิตร ไปที่เซลล์ที่เตรียมไว้ ผสมเบาๆ ด้วยวิธี rocking
4. บ่มเซลล์ที่ 37 องศาเซลเซียส ในตู้บ่มครัวบอนไดออกไซด์ เป็นเวลา 24-96 ชั่วโมง

#### 4. การสกัดอาร์เอ็นเอจากเซลล์ไลน์

การสกัดอาร์เอ็นเอจากเซลล์ไลน์ ทำได้ดังนี้

1. เทอาหารเลี้ยงเซลล์ทึ้ง (เซลล์จะเกะที่ผิวของฟลาสค์หรือเพลท) หลังจากนั้น เติม Trizol reagent 1 มิลลิลิตร/พื้นที่ผิว 10 ตารางเซนติเมตร สำหรับ 12 well plate มีพื้นที่ผิว 4 ตารางเซนติเมตร จะใช้ Trizol reagent 400 ไมโครลิตร ใช้ปีเปตดูดขึ้นลงเพื่อขยี้เซลล์ให้หลุด ทิ้งไว้ 5 นาที ที่อุณหภูมิห้อง
2. เติมคลอโรฟอร์ม 80 ไมโครลิตร (คลอโรฟอร์ม 200 ไมโครลิตร/Trizol reagent 1 มิลลิลิตร) ผสมเรงๆ 15 วินาที ทิ้งไว้ที่อุณหภูมิห้อง 2-3 นาที
3. นำไปปั่นเหวี่ยงที่ 12,000g เป็นเวลา 15 นาที ที่อุณหภูมิ 4 องศาเซลเซียส
4. เก็บส่วนใสส่วนบน นำไปหลอดใหม่ แล้วเติม Isopropyl alcohol 200 ไมโครลิตร (Isopropyl alcohol 0.5 มิลลิลิตร/Trizol reagent 1 มิลลิลิตร)
5. ทิ้งไว้ที่อุณหภูมิห้อง 10 นาที นำไปปั่นเหวี่ยงที่ 12,000g เป็นเวลา 10 นาที ที่อุณหภูมิ 4 องศาเซลเซียส ตะกอนอาร์เอ็นเอจะมีลักษณะใสๆคล้ายเจลที่กันหลอด
6. ทิ้งส่วนใส เติมเอทานอล 75% จำนวน 400 ไมโครลิตร (เอทานอล 1 มิลลิลิตร/Trizol reagent 1 มิลลิลิตร) ผสมให้เข้ากัน
7. นำไปปั่นเหวี่ยงที่ 7,500g เป็นเวลา 5 นาที ที่อุณหภูมิ 4 องศาเซลเซียส
8. ทิ้งส่วนใส รอให้แห้งเอง (air dry) ประมาณ 5-10 นาที
9. ละลายอาร์เอ็นเอด้วย RNase free water โดยใช้ปีเปตดูดขึ้น-ลงประมาณ 2-3 ครั้ง นำไปปั่นที่ 55-60 องศาเซลเซียส ประมาณ 10 นาที

## 5. การสังเคราะห์ First-Strand cDNA ด้วย Superscript VILO

การสังเคราะห์ First-Strand cDNA ด้วย Superscript VILO ทำได้ดังนี้

### 1. การเตรียม master mix (ไม่ใส่ RNA) ดังต่อไปนี้

■ 5X VILO reaction mix	4	ไมโครลิตร
■ 10X Superscript enzyme mix	2	ไมโครลิตร
■ RNA (ไม่เกิน 2.5 ไมโครกรัม)	X	ไมโครลิตร
■ DEPC-treated water เพื่อให้ได้	20	ไมโครลิตร

2. ผสมเบาๆ นำเข้าเครื่อง Thermal Cycler โดยเริ่มที่อุณหภูมิห้อง 10 นาที

3. บ่มที่ 42 องศาเซลเซียส เป็นเวลา 60 นาที

4. หยุดปฏิกิริยาที่อุณหภูมิ 85 องศาเซลเซียส เป็นเวลา 5 นาที

5. นำ cDNA ที่ได้ไปทำ real-time PCR หรือเก็บที่อุณหภูมิ -20 องศาเซลเซียส จนกว่าจะนำมาใช้

## 6. การวิเคราะห์การแสดงออกของยีน usp14

วิเคราะห์การแสดงออกของยีน usp14 ด้วยเทคนิค real-time PCR ด้วยเครื่อง LightCycler (Roche) ใช้ชุดน้ำยา SYBR Green I (Roche) โดยใช้ไพร์เมอร์ usp14Ex4F/usp14-Active R1 (forward 5'-ACC CTC AGC CAA AAC TGT C-3' / reverse 5'-AGG GCT GCA GTA ATA TAC TG-3') ซึ่งมีขนาดขนาด 224 เบส เทียบกับไพร์เมอร์เบ็ต้า-แอคติน (forward 5'-AGC GAG CAT CCC CCA AAG TT-3' / reverse 5'-GGG CAC GAA GGC TCA TCA TT-3') ซึ่งมีขนาด 285 เบส ทำปฏิกิริยainปิโรมิตร 20 ไมโครลิตร ในแต่ละหลอดจะปิลลาเรีย (LightCycler glass capillary) ซึ่งประกอบด้วย LightCycler Mastermix 18 ไมโครลิตร (น้ำ 8.8 ไมโครลิตร, MgCl<sub>2</sub> 5 mM 3.2 ไมโครลิตร, forward primer 0.5 μM 2 ไมโครลิตร, reverse primer 0.5 μM 2 ไมโครลิตร, และ LightCycler Fast Start DNA Master SYBR Green I (Roche Diagnostics, Germany) 2 ไมโครลิตร) หลังจากนั้น เติมดีเอ็นเอ 2 ไมโครลิตร (50 นาโนกรัม) 2 ไมโครลิตร) หลังจากนั้น เติมดีเอ็นเอ 2 ไมโครลิตร (50 นาโนกรัม)

สภาพะของพีซีอาร์ ประกอบด้วย initial denaturation ที่ 95 องศาเซลเซียส เป็นเวลา 10 นาที ตามด้วยอุณหภูมิ 95 องศาเซลเซียส 15 วินาที, อุณหภูมิ 67 → 57 องศาเซลเซียส 5 วินาที (คงไว้ 15 รอบ เรียกว่า touchdown PCR) และ อุณหภูมิ 72 องศาเซลเซียส 20 วินาที จำนวน 45 รอบ

จุดที่เริ่มตรวจพบ PCR product เรียกว่า cycle threshold (Ct) โดยทำการเปรียบเทียบกับยีนพื้นฐาน (Housekeeping gene) ได้แก่ เบต้า-แอคติน โดยทำการคำนวณตามสูตรดังนี้ (Livak & Schmittgen, 2001, pp. 402-408)

$$\text{DNA copy number} = 2^{-(\Delta \text{case}-\Delta \text{actin})};$$

โดยที่  $\Delta \text{case} = \text{Ct}_{\text{tumor}} - \text{Ct}_{\text{normal}}$  สำหรับเพร์เมอร์จำเพาะ และ

$$\Delta \text{actin} = \text{Ct}_{\text{tumor}} - \text{Ct}_{\text{normal}} \text{ สำหรับเพร์เมอร์เบต้า-แอคติน}$$

## บทที่ 4

### ผลการวิจัย

#### 4.1 ออกแบบ RNAi

ได้ oligoduplex RNAi จำนวน 3 ชุด บนยีน *usp14* โดยเลือกชนิด Modified RNA duplexes (Stealth) ดังต่อไปนี้

Primer 1.1: (RNA) – AUA UCU UCU GGU GUU ACG AUG CUG A (USP14-HSS113437) ความเข้มข้น 263.9 OD/ $\mu$ mol

Primer 1.2: (RNA) – UCA GCA UCG UAA CAC CAG AAG AUA U (USP14-HSS113437) ความเข้มข้น 288.1 OD/ $\mu$ mol

Primer 2.1: (RNA) – UAG AGU AGA ACG UAA GCG AUA UGC C (USP14-HSS113438) ความเข้มข้น 293.4 OD/ $\mu$ mol

Primer 2.2: (RNA) – GGC AUA UCG CUU ACG UUC UAC UCU A (USP14-HSS113438) ความเข้มข้น 253.8 OD/ $\mu$ mol

Primer 3.1: (RNA) – UAC CAU UCG AGG UUC AUC UGU AUU C (USP14-HSS189873) ความเข้มข้น 259.5 OD/ $\mu$ mol

Primer 3.2: (RNA) – GAA UAC AGA UGA ACC UCC AAU GGU A (USP14-HSS189873) ความเข้มข้น 292.5 OD/ $\mu$ mol

#### 4.2 คัดเลือกเซลล์ไลน์ของมะเร็งท่อน้ำดีในคนไทย

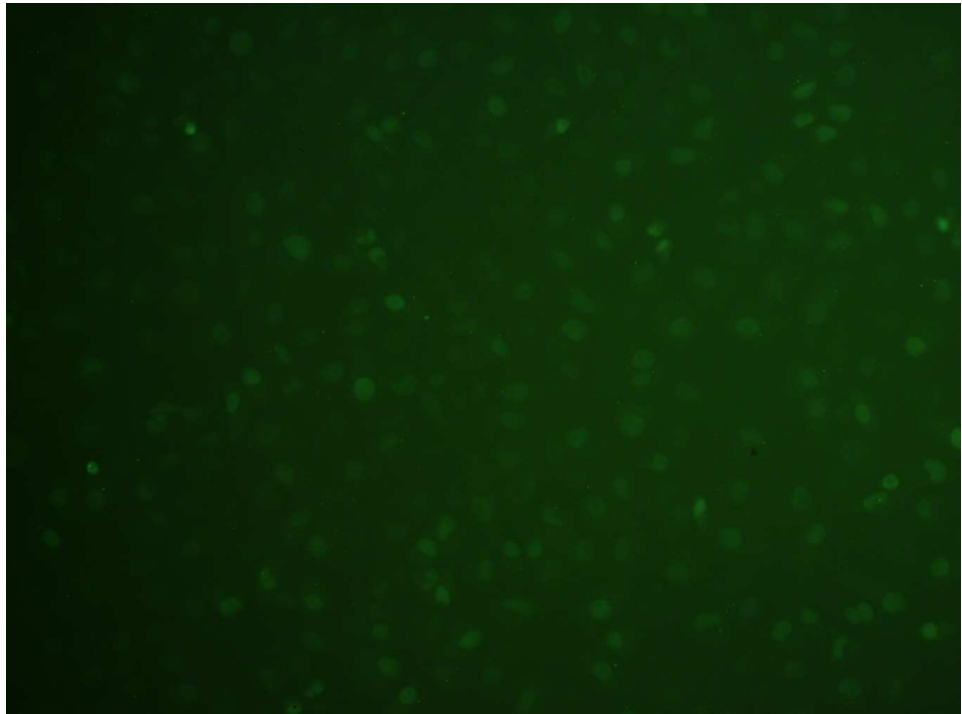
เซลล์ไลน์ของเซลล์มะเร็งท่อน้ำดีในคนไทย ได้รับจากศูนย์วิจัยพยาธิใบไม้ตับและมะเร็งท่อน้ำดี มหาวิทยาลัยขอนแก่น โดยมีเซลล์ไลน์ 2 ชนิด แยกตามลักษณะของเซลล์ 1) KKU100 เป็นชนิด poorly differentiated และ 2) M213 เป็นชนิด well differentiated เซลล์ไลน์ทั้งสองชนิด ถูกเลี้ยงในอาหารเลี้ยงเซลล์ Ham F-12, 10% Fetal bovine serum, และ 1% penicillin-streptomycin ที่อุณหภูมิ 37 องศาเซลเซียส และ คาร์บอนไดออกไซด์ 5%

เซลล์ไลน์ M213 ใช้ในการศึกษาเรื่องการลุกลามของเซลล์มะเร็ง (invasive)

### 4.3 นำโอลิโก RNAi เข้าเซลล์ไลน์

#### 4.3.1 ตรวจสอบสภาวะที่เหมาะสมต่อการนำโอลิโก RNAi เข้าเซลล์ (Transfection)

การตรวจสอบสภาวะที่เหมาะสมต่อการนำโอลิโก RNAi เข้าเซลล์ (Transfection) โดยใช้ BLOCK-iT Fluorescent Oligo (Invitrogen) โดยโอลิโกเส้นคู่ดังกล่าว (dsRNA) จะติด粘着กับฟลูอิโรเจนท์ เมื่อนำไปตรวจด้วยกล้องฟลูอิโรเจนท์ พบว่าโอลิโกราถเข้าเซลล์ได้มากกว่าร้อยละ 90 ดังภาพที่ 4.1-4.2

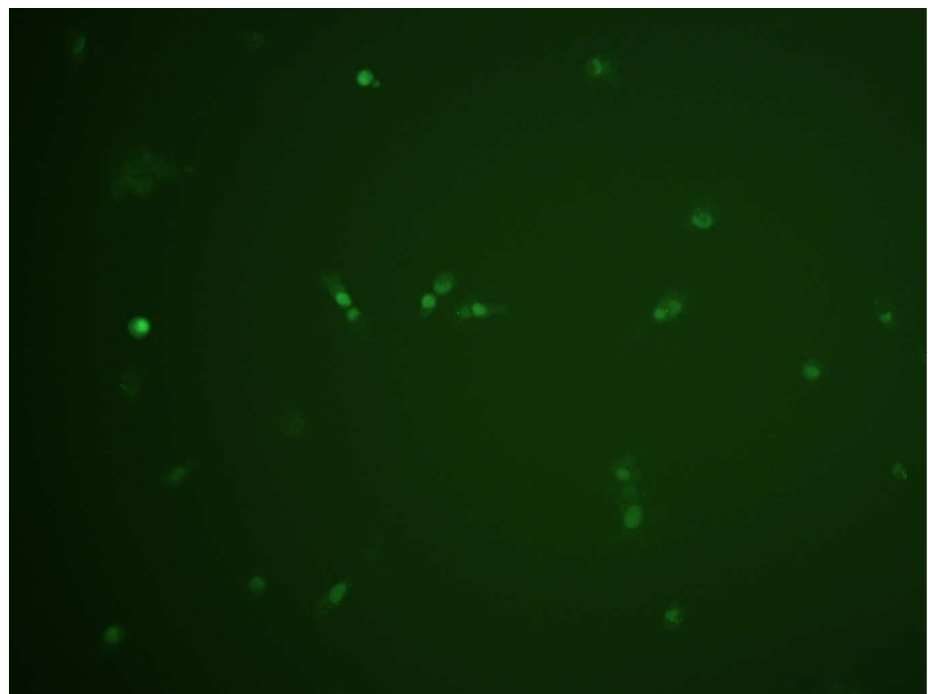


(a)



(b)

ภาพที่ 4.1 เซลล์ KKU-100 (a) และฟลูอิโรมีแอนต์ (b) แสดงขาว



(a)



(b)

ຮູບທີ 4.2 ເໜລ໌ M213 (a) ແລະ ພຶກໂຄຣເຫນດີ (b) ແລະ ຂາວ

#### 4.3.2 การนำโอลิโก RNAi เข้าเซลล์เปรียบเทียบกับ RNAi negative control (Transfection)

นำโอลิโก RNAi ทั้ง 3 ชุด ที่ได้ออกแบบไว้ นำเข้าเซลล์ KKU-100 และ M213 ตาม สภาวะที่เหมาะสมจากข้อ 4.3.1 โดยมี RNAi negative control ที่เวลา 24, 48, และ 72 ชั่วโมง

#### 4.3.3 ศึกษาการแสดงออกของยีนในระดับอาร์เอ็นเอ

(1) การสกัด total RNA จากเซลล์ในข้อ 4.3.2 นำไปวัดความเข้มข้น (Nanodrop) ได้ผล ดังตารางที่ 4.1

ตารางที่ 4.1 ความเข้มข้นของอาร์เอ็นเอ

ตัวอย่าง	ความเข้มข้นของอาร์เอ็นเอ (ng/μl)		
	24 ช.ม.	48 ช.ม.	72 ช.ม.
KKU100-RNAi ชุดที่ 1	739.64	556.79	862.30
KKU100-RNAi ชุดที่ 2	668.01	641.17	1097.60
KKU100-RNAi ชุดที่ 3	635.17	537.99	752.80
KKU100-RNAi negative	938.57	1194.12	1402.36
M213-RNAi ชุดที่ 1	825.88	969.36	1022.37
M213-RNAi ชุดที่ 2	851.31	1078.35	631.70
M213-RNAi ชุดที่ 3	2441.44	1321.62	2348.36
M213-RNAi negative	886.43	1126.39	1926.27

(2) นำ total RNA ที่ได้ไปสร้าง First strand (cDNA) ได้ผลดังตารางที่ 4.2

ตารางที่ 4.2 ความเข้มข้นของดีเอ็นเอ (ng/μl)

ตัวอย่าง	ความเข้มข้นของดีเอ็นเอ (ng/μl)		
	24 ช.ม.	48 ช.ม.	72 ช.ม.
KKU100-RNAi ชุดที่ 1	2301.17	2165.76	1114.50
KKU100-RNAi ชุดที่ 2	2319.50	2262.54	1567.26
KKU100-RNAi ชุดที่ 3	2427.98	2223.40	1708.78
KKU100-RNAi negative	2131.09	2314.91	1942.05
M213-RNAi ชุดที่ 1	1456.67	2294.92	2221.03
M213-RNAi ชุดที่ 2	1286.73	2403.99	2273.92
M213-RNAi ชุดที่ 3	1749.67	2246.97	2490.57
M213-RNAi negative	1860.98	2235.91	2520.78

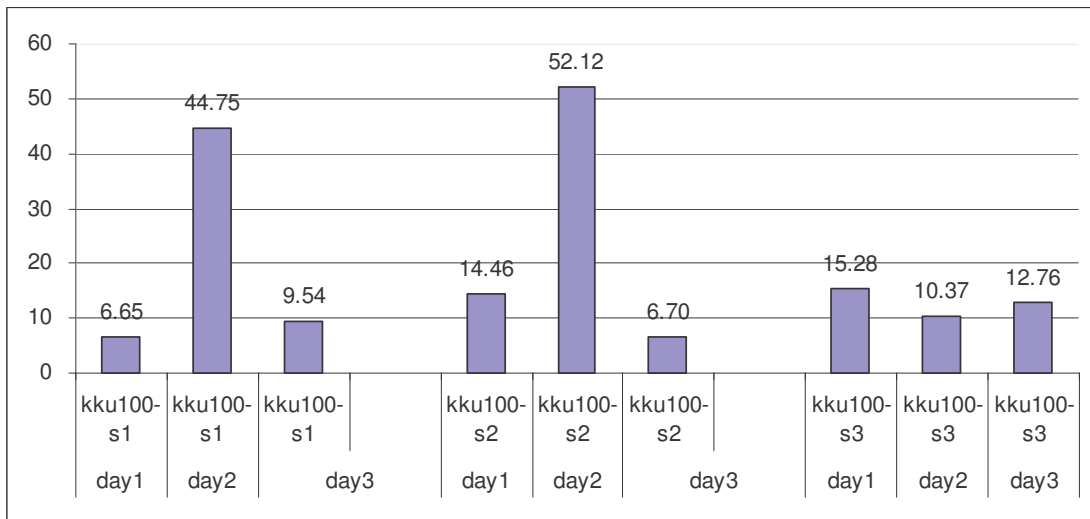
(3) ทำ quantitative real-time PCR โดยใช้บริมาณ cDNA ตัวอย่างละ 25 นาโนกรัม ได้ผลดังตารางที่ 4.3 และภาพที่ 4.3 พบว่า RNAi ชุดที่ 1 ยับยั้งการแสดงออกของยีน *usp14* ในเซลล์ KKU-100 ในเวลา 24 ชั่วโมง ได้มากที่สุด (ร้อยละ 93.35) และ พบว่า RNAi ชุดที่ 3 ยับยั้งการแสดงออกของยีน *usp14* ในเซลล์ M213 ในเวลา 72 ชั่วโมง ได้มากที่สุด (ร้อยละ 93.84)

ตารางที่ 4.3 ค่า crossing point จากเครื่อง real time PCR นำมาคำนวณเปรียบเทียบกับ negative control

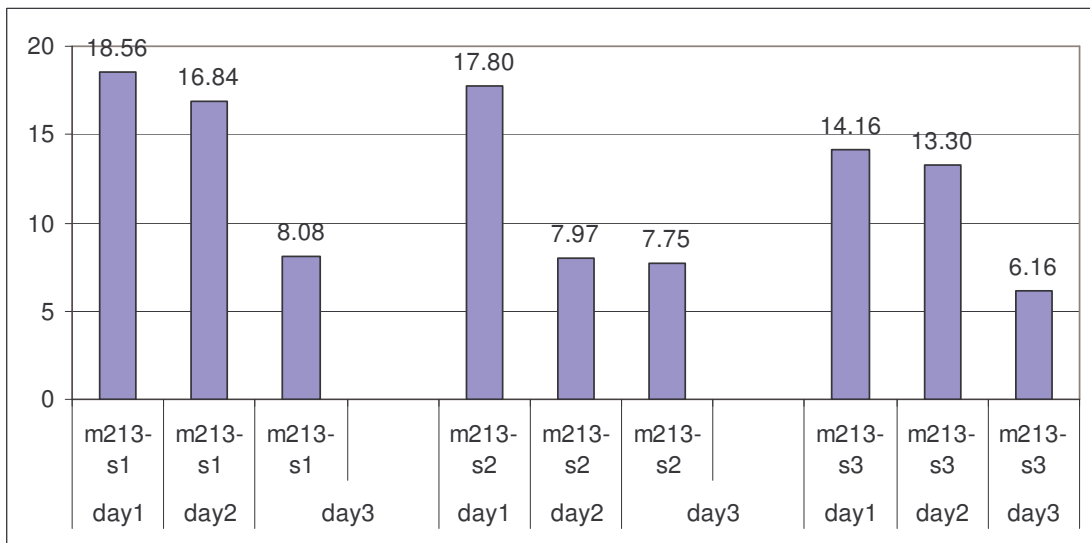
no	case	actin		$\Delta$ actin	usp14-224		$\Delta$ case	$\Delta$ case - $\Delta$ actin	Conc.1/2 $\Delta$	express(%)	Results
		N	T		N	T					
day1	kku100-s1	22.95	21.58	-1.37	27.33	29.87	2.54	3.91	0.07	6.65	Loss
day1	kku100-s2	22.95	21.84	-1.11	27.33	29.01	1.68	2.79	0.14	14.46	Loss
day1	kku100-s3	22.95	22.48	-0.47	27.33	29.57	2.24	2.71	0.15	15.28	Loss
day1	kku100-s-	22.95	22.95	0.00	27.33	27.33	0.00	0.00	1.00	100.00	Normal
day1	m213-s1	18.63	18.07	-0.56	25.04	26.91	1.87	2.43	0.19	18.56	Loss
day1	m213-s2	18.63	18.33	-0.30	25.04	27.23	2.19	2.49	0.18	17.80	Loss
day1	m213-s3	18.63	20.54	1.91	25.04	29.77	4.73	2.82	0.14	14.16	Loss
day1	m213-s-	18.63	18.63	0.00	25.04	25.04	0.00	0.00	1.00	100.00	Normal
day2	kku100-s1	25.49	21.03	-4.46	32.23	28.93	-3.30	1.16	0.45	44.75	Loss
day2	kku100-s2	25.49	21.24	-4.25	32.23	28.92	-3.31	0.94	0.52	52.12	Loss
day2	kku100-s3	25.49	23.80	-1.69	32.23	33.81	1.58	3.27	0.10	10.37	Loss
day2	kku100-s-	25.49	25.49	0.00	32.23	32.23	0.00	0.00	1.00	100.00	Normal
day2	m213-s1	21.94	21.63	-0.31	26.93	29.19	2.26	2.57	0.17	16.84	Loss
day2	m213-s2	21.94	21.54	-0.40	26.93	30.18	3.25	3.65	0.08	7.97	Loss
day2	m213-s3	21.94	21.58	-0.36	26.93	29.48	2.55	2.91	0.13	13.30	Loss
day2	m213-s-	21.94	21.94	0.00	26.93	26.93	0.00	0.00	1.00	100.00	Normal

ตารางที่ 4.3 ค่า crossing point จากเครื่อง real time PCR นำมาคำนวณเปรียบเทียบกับ negative control (ต่อ)

no	case	actin		$\Delta$ actin	usp14-224		$\Delta$ case	$\Delta$ case - $\Delta$ actin	Conc.1/2 $\Delta$	express(%)	Results
		N	T		N	T					
day3	kku100-s1	22.51	22.25	-0.26	28.13	31.26	3.13	3.39	0.10	9.54	Loss
day3	kku100-s2	22.51	22.14	-0.37	28.13	31.66	3.53	3.90	0.07	6.70	Loss
day3	kku100-s3	22.51	22.59	0.08	28.13	31.18	3.05	2.97	0.13	12.76	Loss
day3	<i>kku100-s-</i>	22.51	22.51	0.00	28.13	28.13	0.00	0.00	1.00	100.00	Normal
day3	m213-s1	23.80	18.07	-5.73	29.01	26.91	-2.10	3.63	0.08	8.08	Loss
day3	m213-s2	23.80	18.33	-5.47	29.01	27.23	-1.78	3.69	0.08	7.75	Loss
day3	m213-s3	23.80	20.54	-3.26	29.01	29.77	0.76	4.02	0.06	6.16	Loss
day3	<i>m213-s-</i>	23.80	23.80	0.00	29.01	29.01	0.00	0.00	1.00	100.00	Normal



(η)



(η)

ภาพที่ 4.3 เปรียบเทียบการขับยั่งการและแสดงออกของยีน *usp14* ในเชลล์ KRU-100 (η) และ M213 (η)

## บทที่ 5

### สรุปผลการวิจัย อภิปรายผล และข้อเสนอแนะ

งานวิจัยนี้เป็นงานวิจัยต่อยอดจากปีงบประมาณ 2552 ซึ่งทราบสภาพการเปลี่ยนแปลงของยีนต่างๆ ในเซลล์มะเร็งท่อน้ำดีของผู้ป่วยไทย โดยเบื้องต้นใช้วิธีขยายยีนแบบสุ่ม (AP-PCR) พับส่วนของดีเอ็นเอที่มีความจำเพาะกับโรคมะเร็งท่อน้ำดีอยู่บนยีน *usp14* บนโครโมโซม 18 และเมื่อวิเคราะห์การเพิ่มจำนวนชุดของดีเอ็นเอด้วยเทคนิค real-time PCR ของยีนดังกล่าว พบร่วมกัน จำนวนชุดของยีนมีการเปลี่ยนแปลง (gene variation) 52% (27/52 ราย) ทางคณะผู้วิจัยจึงทำศึกษาการยับยั้งการทำงานของยีนดังกล่าวด้วยเทคนิค RNAi และแนวโน้มในการนำไปใช้รักษาโรคมะเร็งท่อน้ำดีในคนไทยต่อไป

โดยเริ่มจากการออกแบบโอลิโกสายสั้น หรือ oligoduplex RNAi จำนวน 3 ชุด บนยีน *usp14* โดยเลือกชนิด Modified RNA duplexes (Stealth) ได้ลำดับนิวคลีโอไทด์ดังต่อไปนี้

RNAi 1.1 – AUA UCU UCU GGU GUU ACG AUG CUG A (USP14-HSS113437);

RNAi 1.2 – UCA GCA UCG UAA CAC CAG AAG AUA U (USP14-HSS113437);

RNAi 2.1 – UAG AGU AGA ACG UAA GCG AUA UGC C (USP14-HSS113438);

RNAi 2.2 – GGC AUA UCG CUU ACG UUC UAC UCU A (USP14-HSS113438);

RNAi 3.1 – UAC CAU UCG AGG UUC AUC UGU AUU C (USP14-HSS189873);

RNAi 3.2 – GAA UAC AGA UGA ACC UCC AAU GGU A (USP14-HSS189873)

หลังจากนั้นทำการคัดเลือกเซลล์ไลน์ของมะเร็งท่อน้ำดีในคนไทย จากศูนย์วิจัยพยาธิไปไม่ตับและมะเร็งท่อน้ำดี มหาวิทยาลัยขอนแก่น โดยมีเซลล์ไลน์ 2 ชนิด แยกตามลักษณะของเซลล์ 1) KKU100 เป็นชนิด poorly differentiated และ 2) M213 เป็นชนิด well differentiated เซลล์ไลน์ทั้งสองชนิดถูกเลี้ยงในอาหารเลี้ยงเซลล์ Ham F-12, 10% Fetal bovine serum, และ 1% penicillin-streptomycin ที่อุณหภูมิ 37 องศาเซลเซียส และ คาร์บอนไดออกไซด์ 5% เซลล์ไลน์ที่ใช้ในการศึกษาเรื่องการลุกalamของเซลล์มะเร็ง (invasive) คือ M213

เมื่อจะนำโอลิโก RNAi เข้าเซลล์ไลน์ ต้องทำการตรวจสอบสภาพที่เหมาะสมต่อการนำโอลิโก RNAi เข้าเซลล์ (Transfection) โดยใช้ BLOCK-iT Fluorescent Oligo (Invitrogen) โดยโอลิโกรีดเส้นคู่ดังกล่าว (dsRNA) จะติดคลากสารฟลูโอเรสเซนท์ เมื่อนำไปตรวจด้วยกล้องฟลูโอเรสเซนท์ พบร่วมกับโอลิโกรีดที่ออกแบบไว้สามารถเข้าเซลล์ได้มากกว่าร้อยละ 90 หลังจากนั้นจึงนำโอลิโกรีดเส้นคู่ที่เข้ามาในเซลล์ให้สลายตัว

RNAi ทั้ง 3 ชุด ที่ได้ออกแบบไว้ เข้าเซลล์ KKU-100 และ M213 ตามสภาวะที่เหมาะสมข้างต้น โดยมีตัวควบคุม คือ RNAi negative control ที่เวลา 24, 48, และ 72 ชั่วโมง

แล้วทำการศึกษาการแสดงออกของยีนในระดับอาร์เอ็นเอ เริ่มตั้งแต่การสกัด total RNA จากเซลล์ไลน์ที่ถูก Transfection ด้วยโอลิกอี RNAi และนำไปสร้าง First strand (cDNA) หลังจากนั้นทำการศึกษาการแสดงออกของยีนในระดับอาร์เอ็นเอ โดยทำ quantitative real-time PCR พบร่วม RNAi ชุดที่ 1 ยับยั้งการแสดงออกของยีน *usp14* ในเซลล์ KKU-100 ในเวลา 24 ชั่วโมง ได้มากที่สุด (ร้อยละ 93.35) และ พบร่วม RNAi ชุดที่ 3 ยับยั้งการแสดงออกของยีน *usp14* ในเซลล์ M213 ในเวลา 72 ชั่วโมง ได้มากที่สุด (ร้อยละ 93.84)

หากจะวิเคราะห์ระดับนิวคลีโอไทด์ของ RNAi ที่ได้ออกแบบไว้ พบร่วม ubiquitin specific peptidase 14 (tRNA-guanine transglycosylase) นั้นมีโครงสร้างที่ต่างกัน 2 ชนิด (isoform a และ b) หรือถ้าเป็นในระดับอาร์เอ็นเอ เรียกว่า มี transcript variant 2 ชนิด โดยที่ variant 1 จะมีขนาดอาร์เอ็นເອສົ່ງໝ່າວ (mRNA) 4156 ເປັນ ສ່ວນ variant 2 จะສັນກວ່າເລັກນ້ອຍ ດີມື່ ຂະດາອາຣີເອັນເຂົ້າສົ່ງໝ່າວ (mRNA) 4051 ເປັນ (ຕ່າງກັນ 105 ເປັນ) ໂດຍມີຮາຍລະເບີຍດແຍກຕາມ variant ด້ວຍໂປຣແກຣມ BLAST: Basic Local Alignment Search Tool ບນຫຼາຍຂໍ້ມູນ NCBI: National Center for Biotechnology Information (<http://blast.ncbi.nlm.nih.gov>) ດັ່ງນີ້

#### Variant 1::RNAi 1

Query 1	TCAGCATCGTAACACCAGAAGATAT	25
Sbjct 1580	TCAGCATCGTAACACCAGAAGATAT	1604

#### Variant 1::RNAi 2

Query 1	GGCATATCGCTTACGTTCTACTCTA	25
Sbjct 1631	GGCATATCGCTTACGTTCTACTCTA	1655

#### Variant 1::RNAi 3

Query 1	GAATACAGATGAACCTCCAATGGTA	25
Sbjct 276	GAATACAGATGAACCTCCAATGGTA	300

#### Variant 2::RNAi 1

Query 1	TCAGCATCGTAACACCAGAAGATAT	25
Sbjct 1475	TCAGCATCGTAACACCAGAAGATAT	1499

### Variant 2::RNAi 2

Query 1	GGCATATCGCTTACGTTACTCTA	25
Sbjct 1526	GGCATATCGCTTACGTTACTCTA	1550

### Variant 2::RNAi 3

Query 1	GAATACAGATGAACCTCCAATGGTA	25
Sbjct 276	GAATACAGATGAACCTCCAATGGTA	300

พบว่า RNAi 1 และ 2 อยู่บนเอ็กซอน (exon) 16 ในขณะที่ RNAi 3 อยู่บนเอ็กซอนที่ 2 นอกจากนั้น เซลล์ไลน์ KU-100 เป็นเซลล์ชนิด poor differentiated ในขณะที่เซลล์ไลน์ M213 เป็นเซลล์ชนิด well differentiated (Sripa, Leungwattanawanit, Nitta, Wongkham, Bhudhisawasdi, et al., 2005, pp. 3392-3397) จึงเป็นไปได้ที่ RNAi จะยับยั้งการแสดงออกของยีนได้แตกต่างกัน

จากการที่ RNAi ชุดที่ 1 ยับยั้งการแสดงออกของยีน *usp14* ในเซลล์ KU-100 ได้มากที่สุด ในเวลา 24 ชั่วโมง และ พบว่า RNAi ชุดที่ 3 ยับยั้งการแสดงออกของยีน *usp14* ในเซลล์ M213 ได้มากที่สุด ในเวลา 72 ชั่วโมง ทั้งนี้ เซลล์ไลน์ M213 เป็นชนิดลุกลาม (invasive) แตกต่างจากเซลล์ไลน์ชนิด KU-100 ซึ่งไม่ลุกลาม เมื่อเวลามากขึ้น เซลล์มีการเพิ่มจำนวน ทำให้โปรตีนดังกล่าวเพิ่มปริมาณมากขึ้น

จากการวิจัยทำให้ทราบว่าオリゴ RNAi ที่ได้ออกแบบไว้สามารถยับยั้งการแสดงออกของยีน *usp14* ได้จริง ลำดับถัดไปควรจะมีการศึกษาสภาวะของเซลล์ไลน์หลังจากถูกยับยั้งยีน *usp14* ได้แก่ Proliferation, Migration, และ Invasion เนื่องจากเป็นสภาวะที่พบได้ในเซลล์มะเร็ง

## รายการอ้างอิง

- Alpini, G., Glaser. S. S., Ueno, Y., Pham, L., Podila, P. V., Caligiuri, A., LeSage, G., LaRusso, N. F. (1998) Heterogeneity of the proliferative capacity of rat cholangiocytes after bile duct ligation. *Am J Physiol*, 274, G767-775.
- Chuensumran, U., Saelee, P., Punyarat, P., Wongkham, S., Pairojkul, C., Chauin, S., Petmitr, S. (2011) Ubiquitin-specific protease 14 expression associated with intrahepatic cholangiocarcinoma cell differentiation. *Asian Pac J Cancer Prev*, 12, 775-779.
- Chuensumran, U., Wongkham, S., Pairojkul, C., Chauin, S., Petmitr, S. (2007) Prognostic value of DNA alterations on chromosome 17p13.2 for intrahepatic cholangiocarcinoma. *World J Gastroenterol*, 13, 2986-2991.
- Fire, A., Xu, S., Montgomery, M. K., Kostas, S. A., Driver, S. E., Mello, C. C. (1998) Potent and specific genetic interference by double-stranded RNA in *Caenorhabditis elegans*. *Nature*, 391, 806-811.
- Fire, A. Z. (2007) Gene silencing by double-stranded RNA (Nobel Lecture). *Angew Chem Int Ed Engl*, 46, 6966-6984.
- Furubo, S., Harada, K., Shimonishi, T., Katayanagi, K., Tsui, W., Nakanuma, Y. (1999) Protein expression and genetic alterations of p53 and ras in intrahepatic cholangiocarcinoma. *Histopathology*, 35, 230-240.
- Harada, K., Terada, T., Nakanuma, Y. (1996) Detection of transforming growth factor-alpha protein and messenger RNA in hepatobiliary diseases by immunohistochemical and in situ hybridization techniques. *Hum Pathol*, 27, 787-792.
- International Agency for Research on Cancer. (1994) Infection with liver flukes (*Opisthorchis viverrini*, *Opisthorchis felineus* and *Clonorchis sinensis*). IARC Monogr Eval Carcinog Risks Hum, 61, 121-175.
- Ishiwata, S., Katayama, J., Shindo, H., Ozawa, Y., Itoh, K., Mizugaki, M. (2001) Increased expression of queuosine synthesizing enzyme, tRNA-guanine

- transglycosylase, and queuosine levels in tRNA of leukemic cells. *J Biochem*, 129, 13-17.
- Levi, S., Urbano-Ispizua, A., Gill, R., Thomas, D. M., Gilbertson, J., Foster, C., Marshall, C. J. (1991) Multiple K-ras codon 12 mutations in cholangiocarcinomas demonstrated with a sensitive polymerase chain reaction technique. *Cancer Res*, 51, 3497-3502.
- Lampaiboon, T., Krissadarak, K., Sripa, B., Jearanaikoon, P., Bhuhisawasdi, V., Chau-in, S., Romphruk, A., Pairojkul, C. (2002) Microsatellite alterations in liver fluke related cholangiocarcinoma are associated with poor prognosis. *Cancer Lett*, 181, 215-222.
- Liu, D., Momoi, H., Li, L., Ishikawa, Y., Fukumoto, M. (2002) Microsatellite instability in thorotrast-induced human intrahepatic cholangiocarcinoma. *Int J Cancer*, 102, 366-371.
- Livak, K. J., Schmittgen, T. D. (2001) Analysis of relative gene expression data using real-time quantitative PCR and the 2(-Delta Delta C(T)) Method. *Methods*, 25, 402-408.
- Mello, C. C. (2007) Return to the RNAi world: rethinking gene expression and evolution (Nobel Lecture).: *Angew Chem Int Ed Engl*, 46, 6985-6994.
- Napoli, C., Lemieux, C., Jorgensen, R. (1990) Introduction of a Chimeric Chalcone Synthase Gene into Petunia Results in Reversible Co-Suppression of Homologous Genes in trans. *Plant Cell*, 2, 279-289.
- Ohashi, K., Nakajima, Y., Kanehiro, H., Tsutsumi, M., Taki, J., Aomatsu, Y., Yoshimura, A., Ko, S., Kin, T., Yagura, K. (1995) Ki-ras mutations and p53 protein expressions in intrahepatic cholangiocarcinomas: relation to gross tumor morphology. *Gastroenterology*, 109, 1612-1617.
- Ohashi, K., Tsutsumi, M., Nakajima, Y., Noguchi, O., Okita, S., Kitada, H., Tsujiuchi, T., Kobayashi, E., Nakano, H., Konishi, Y. (1994) High rates of Ki-ras point mutation in both intra- and extra-hepatic cholangiocarcinomas. *Jpn J Clin Oncol*, 24, 305-310.

- Pascher, A., Jonas, S., Neuhaus, P. (2003) Intrahepatic cholangiocarcinoma: indication for transplantation. *J Hepatobiliary Pancreat Surg*, **10**, 282-287.
- Petmitr, S., Pinlaor, S., Thousungnoen, A., Karalak, A., Migasena, P. (1998) K-ras oncogene and p53 gene mutations in cholangiocarcinoma from Thai patients. *Southeast Asian J Trop Med Public Health*, **29**, 71-75.
- Radaeva, S., Ferreira-Gonzalez, A., Sirica, A. E. (1999) Overexpression of C-NEU and C-MET during rat liver cholangiocarcinogenesis: A link between biliary intestinal metaplasia and mucin-producing cholangiocarcinoma. *Hepatology*, **29**, 1453-1462.
- Shinji, S., Naito, Z., Ishiwata, S., Ishiwata, T., Tanaka, N., Furukawa, K., Suzuki, H., Seya, T., Matsuda, A., Katsuta, M., Tajiri, T. (2006) Ubiquitin-specific protease 14 expression in colorectal cancer is associated with liver and lymph node metastases. *Oncol Rep*, **15**, 539-543.
- Sirica, A. E., Lai, G. H., Endo, K., Zhang, Z., Yoon, B. I. (2002) Cyclooxygenase-2 and ERBB-2 in cholangiocarcinoma: potential therapeutic targets. *Semin Liver Dis*, **22**, 303-313.
- Sriamporn, S., Pisani, P., Pipitgool, V., Suwanrungruang, K., Kamsa-ard, S., Parkin, D. M. (2004) Prevalence of *Opisthorchis viverrini* infection and incidence of cholangiocarcinoma in Khon Kaen, Northeast Thailand. *Trop Med Int Health*, **9**, 588-594.
- Sripa, B., Kaewkes, S. (2000) Relationship between parasite-specific antibody responses and intensity of *Opisthorchis viverrini* infection in hamsters. *Parasite Immunol*, **22**, 139-145.
- Sripa, B., Leungwattanawanit, S., Nitta, T., Wongkham, C., Bhudhisawasdi, V., Puapairoj, A., Sripa, C., Miwa, M. (2005) Establishment and characterization of an opisthorchiasis-associated cholangiocarcinoma cell line (KKU-100). *World J Gastroenterol*, **11**, 3392-3397.
- Tada, M., Omata, M., Ohto, M. (1992) High incidence of ras gene mutation in intrahepatic cholangiocarcinoma. *Cancer*, **69**, 1115-1118.

- Terada, T., Ashida, K., Endo, K., Horie, S., Maeta, H., Matsunaga, Y., Takashima, K., Ohta, T., Kitamura, Y. (1998) c-erbB-2 protein is expressed in hepatolithiasis and cholangiocarcinoma. *Histopathology*, 33, 325-331.
- Thamavit, W., Bhamarapravati, N., Sahaphong, S., Vajrasthira, S., Angsubhakorn, S. (1978) Effects of dimethylnitrosamine on induction of cholangiocarcinoma in *Opisthorchis viverrini*-infected Syrian golden hamsters. *Cancer Res*, 38, 4634-4639.
- Tsuda, H., Satarug, S., Bhudhisawasdi, V., Kihana, T., Sugimura, T., Hirohashi, S. (1992) Cholangiocarcinomas in Japanese and Thai patients: difference in etiology and incidence of point mutation of the c-Ki-ras proto-oncogene. *Mol Carcinog*, 6, 266-269.
- Uttaravichien, T., Buddhisawasdi, V. (1990) Experience of non-jaundiced cholangiocarcinoma. *Hepatogastroenterology*, 37, 608-611.
- Vatanasapt, V., Martin, N., Sriplung, H., Chindavijak, K., Sontipong, S., Sriamporn, H., Parkin, D. M., Ferlay, J. (1995) Cancer incidence in Thailand, 1988-1991. *Cancer Epidemiol Biomarkers Prev*, 4, 475-483.
- Vatanasapt, V., Sripa, B., Sithithaworn, P., Mairiang, E. (1999) Liver flukes and liver cancer. In: Newton Beral V, Weiss RA, editors. *Infections and human cancer*. Bangkok. 313-343.
- Wu, H., Hait, W. N., Yang, J. M. (2003) Small interfering RNA-induced suppression of MDR1 (P-glycoprotein) restores sensitivity to multidrug-resistant cancer cells. *Cancer Res*, 63, 1515-1519.
- Zukiel, R., Nowak, S., Wyszko, E., Rolle, K., Gawronska, I., Barciszewska, M. Z., Barciszewski, J. (2006) Suppression of human brain tumor with interference RNA specific for tenascin-C. *Cancer Biol Ther*, 5, 1002-1007.

## ประวัติผู้วิจัย

1. ชื่อ - นามสกุล นางสาวอุบล ชื่นสำราญ

2. ตำแหน่งปัจจุบัน อาจารย์

3. หน่วยงานที่อยู่

โรงเรียนการเรือน มหาวิทยาลัยราชภัฏสวนดุสิต

228-228/1-3 ถ.สุรินทร์ แขวง/เขต บางพลัด กรุงเทพฯ 10700

โทรศัพท์ 02-423-9468-9 e-mail: ubol\_c@yahoo.com

4. ประวัติการศึกษา

B.Sc. (Nursing) มหาวิทยาลัยมหิดล พ.ศ. 2537

M.Sc. (Biotechnology) มหาวิทยาลัยเทคโนโลยีพระจอมเกล้าธนบุรี พ.ศ. 2541

Ph.D. (Tropical Medicine) มหาวิทยาลัยมหิดล พ.ศ. 2550

5. ผลงานทางวิชาการที่ตีพิมพ์เผยแพร่

Chuensumran U, Wongkham S, Pairojkul C, Chauin S, Petmitr S. Prognostic value of DNA alterations on chromosome 17p13.2 for intrahepatic cholangiocarcinoma. World J Gastroenterol. 2007; 13: 2986-91.

Saelee P, Wongkham S, Chariyalertsak S, Petmitr S, Chuensumran U. RASSF1A Promoter Hypermethylation as a Prognostic Marker for Hepatocellular Carcinoma. Asian Pac J Cancer Prev. 2010;11(6):1677-81.

Chuensumran U, Saelee P, Punyarit P, Wongkham S, Pairojkul C, Chauin S, and Petmitr S. Ubiquitin-specific protease 14 expression associated with intrahepatic cholangiocarcinoma cell differentiation. Asian Pac J Cancer Prev. 2011; 12: 775-779.

Chuensumran U, Saelee P, Wongkham S, Pairojkul C, Chauin S, and Petmitr S. Histological type of intrahepatic cholangiocarcinoma differentiated by genetic alteration from AP-PCR fingerprint. Asian Pac J Cancer Prev. 2011; 12: 1377-80.